

М. М. АФАНАСЬЕВ

(Ленинград)

четырьмя различными контактными парами: а) бронзовыми (бр. В2) кольцами и струнными щетками из меди; б) бронзовыми (бр. В2) кольцами и стальными струнными щетками (Х17Н2); в) медными кольцами и стальными струнными щетками (Х17Н2); г) двумя пружинящими посеребренными пластинами, выполненными в форме полусферы и соприкасающимися на двух дугах примерно в 60° с посеребренными кольцами диаметром 20 мм. Наилучшие результаты получены на контактных парах медь — сталь и бронза — сталь.

Наблюдения выходных сигналов на экране электронного осциллографа показали, что потери электрического контакта отсутствуют при скоростях до 40 м/с и контактном нажатии, большем 0,3 кг. Уровень шума от пика до пика не превышал $10 \cdot 10^{-3}$ Ом. Однако стабильность электрических параметров токосъемника достигалась лишь при условии охлаждения зоны контактирования, а также непрерывного удаления продуктов износа и загрязнений.

На рис. 1 и 2 приведены корреляционные функции $K(\tau)$ и спектральные плотности $S(\omega)$ шумов токосъемника для некоторых типичных случаев, встречающихся на практике.

Спектры $S_1(\omega)$ и $S_2(\omega)$ получены для измерительной системы на перемещении тока с синхронным детектором (см. рис. 1). Отметим характерные составляющие на частоте f_1 , соответствующей скорости вращения, или удвоенной частоте. Могут выделяться также сигналы на частоте собственных поперечных колебаний щетки (струны) f_2 . Спектр $S_3(\omega)$ соответствует питанию тензорезистора от источника постоянного тока. Выделяются значительные составляющие спектра на частоте 50 Гц, ее гармониках и субгармониках.

Спектры $S_4(\omega)$ и $S_5(\omega)$ соответствуют «чистому» шуму токосъемника и термоэдс, обусловливаемым нерегулярностями переходного сопротивления ΔR_k и температурными падениями в области соприкосновения кольца и щетки. Спектры достаточно гладкие в большом диапазоне частот, что позволяет принять модель шума токосъемника в виде идеального белого шума и определить его параметры.

Исчерпывающей характеристикой белого шума является его спектральная интенсивность B [1], выражаемая как

$$B \sim \zeta_1 \bar{n} [\Delta R_k (1/\bar{n})]^2 = \zeta_1 \Delta R_k^2 (1/\bar{n}), \quad (1)$$

где \bar{n} — среднее число приращений контактного сопротивления в единицу времени; $\Delta R_k/\bar{n}$ — приращение контактного сопротивления; ζ_i — здесь и далее безразмерные коэффициенты.

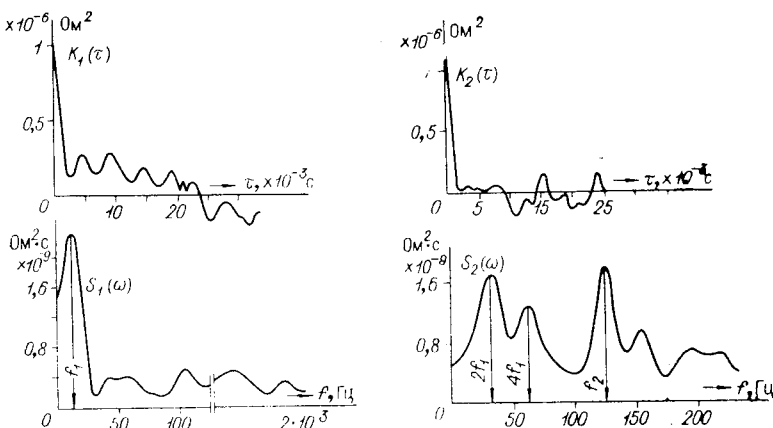


Рис. 1. Спектральные плотности $S(\omega)$ и корреляционные функции $K(\tau)$ шума измерительной системы.

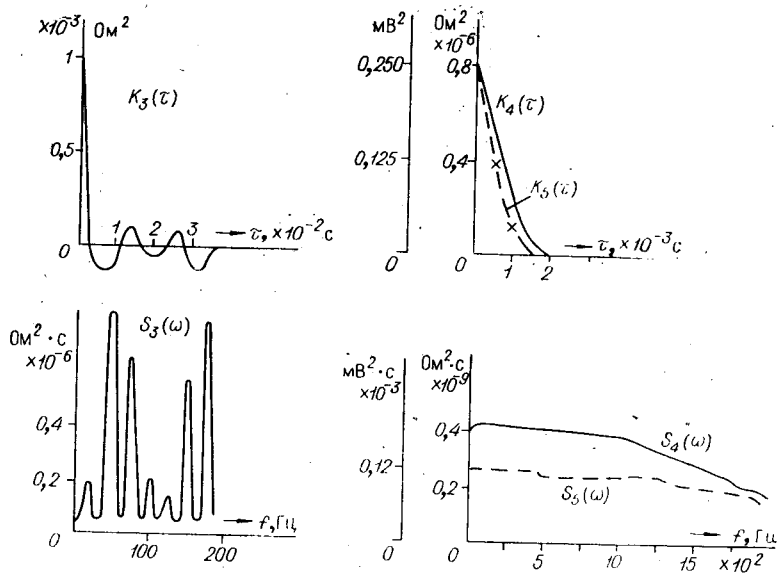


Рис. 2. Спектральные плотности $S(\omega)$ и корреляционные функции $K(\tau)$ шума токосъемника.

Параметры \bar{n} и ΔR_k можно оценить, исходя из сложившихся представлений о физике процессов, протекающих в контакте (см., например, [2, 3]).

Упрощенная модель флюктуаций контактного сопротивления выглядит следующим образом. Соприкасающиеся токопроводящие элементы контактируют в отдельных точках — контактных пятнах, суммарная площадь которых образует эффективную поверхность S контакта. При вращении происходит столкновение выступов кольца и щетки, контактирующие поверхности при этом сжимаются; имеет место сначала упругая, а затем пластическая их деформация. Совершается переход от одной эффективной поверхности к другой, что обуславливает флюктуации переходного сопротивления ΔR_k . Формирование импульса приращения происходит каждый раз в момент прохождения очередного контактного пятна. Если допустить, что токосъемник работает в режиме упругопластических деформаций, значение сопротивления ΔR_k можно считать пропорциональным сопротивлению стягивания [2], т. е.

$$\Delta R_k \sim \rho / \sqrt{S}, \quad (2)$$

где ρ — удельное объемное электрическое сопротивление контактируемых материалов.

В первом приближении площадь S для случая параболического распределения высоты выступов и контактирования по плоскости определяется формулой [3]

$$S \approx 2\pi(N/E)\sqrt{r}h, \quad (3)$$

Здесь N — контактное усилие; E — модуль упругости; r , h — параметры шероховатости (среднее значение радиуса и высоты выступа).

Интенсивность импульсов во времени \bar{n} определяется следующим образом:

$$\bar{n} = (n_k/\beta)\omega, \quad (4)$$

где n_k — число контактирующих пятен на площади контакта; β — угол обхвата кольца щеткой; ω — угловая скорость вращения.

Количество пятен n_k , в свою очередь, определяется через площадь S и параметры шероховатости r и h [3]:

$$n_k \approx (1.2/\pi) \cdot (S/rh). \quad (5)$$

Подставляя приведенные значения (2) — (5) в формулу (1), получаем

$$B = \zeta_2 [\rho h (E/N)]^2 \beta / \omega. \quad (6)$$

Найдем также среднеквадратическое значение переходного сопротивления скользящего контакта σ . С этой целью обратимся к корреляционной функции $K_4(\tau)$ (см. рис. 2). Как видно из рисунка, функция $K_4(\tau)$ может быть аппроксимирована выражением

$$K_4(\tau) = \sigma^2 e^{-\alpha\tau}, \quad (7)$$

где α — коэффициент, обратно пропорциональный длительности контактного импульса. Значение этого коэффициента определяется размерами контактного пятна и линейной скоростью перемещения кольца относительно щетки. Величину коэффициента α для произвольной линейной скорости v удобно определять по значению α_0 , нормированному к единичной скорости $v_0 = 1,0 \text{ м/с}$:

$$\alpha = \alpha_0 (v/v_0) = (\alpha_0/2) D \omega, \quad (8)$$

где D — диаметр кольца токосъемника.

Для контактной пары бронза — сталь, медь — сталь эмпирическое значение коэффициента α_0 находится в пределах $100\text{--}150 \text{ с}^{-1}$. Параметр B связан с α и σ следующим образом:

$$B = \sigma^2/\pi \alpha. \quad (9)$$

Следовательно, среднеквадратическое значение флюктуаций переходного сопротивления

$$\sigma = \xi_3 \rho h (E/N)^{\sqrt{\alpha \beta}} / \omega. \quad (10)$$

Значение коэффициента ξ_3 можно определить экспериментальным путем, исходя из корреляционной функции (параметры α и σ), а также из других параметров, входящих в формулу (10). В частности, для токосъемника с медными кольцами и стальными струнными щетками его значение составляет $1 \cdot 10^{-2}$.

Формула (10) может быть также представлена в виде

$$\sigma = \xi_0 \rho h (E/N_0), \quad (11)$$

где $\xi_0 = \xi_3 \sqrt{\alpha \beta / \omega} / (e^{\mu \beta} - 1)$, N_0 — усилие натяжения струны (μ — коэффициент трения).

Формула (11) с точностью до коэффициента совпадает с результатом, полученным в работе [3, с 50] для переходного сопротивления многоточечного неподвижного контакта.

Пример расчета. Определим ожидаемую амплитуду переходного сопротивления струнного токосъемника с бронзовыми шлифованными кольцами и стальными щетками, если $N_0 = 1 \text{ кг}$, $E = 2,1 \cdot 10^6 \text{ кг/см}^2$, $\beta = 0,12 \cdot \pi$, $\rho = 15 \cdot 10^{-6} \text{ Ом} \cdot \text{см}$, $\mu \cong 0,15$, $h = 0,12 \cdot 10^{-3} \text{ см}$, $\omega = 62,8 \text{ с}^{-1}$, $D = 15,0 \text{ см}$.

По формулам (8), (10) и (11) находим: $\alpha \cong 700 \text{ с}^{-1}$, $\sigma \cong 1,25 \cdot 10^{-3} \text{ Ом}$, $\xi_0 \cong 0,43$.

ЛИТЕРАТУРА

1. С. М. Рытов. Введение в статистическую радиофизику. М., «Наука», 1961.
2. Р. Хольм. Электрические контакты. М., Изд-во иностр. лит., 1961.
3. А. К. Белоусов, В. С. Савченко. Электрические разъемные контакты в радиоэлектронной аппаратуре. М., «Энергия», 1967.

Поступило в редакцию
3 июля 1973 г.